

ИЗВЕСТИЯ
ТОМСКОГО ОРДЕНА ОКТЯБРЬСКОЙ РЕВОЛЮЦИИ И ОРДЕНА ТРУДОВОГО
КРАСНОГО ЗНАМЕНИ ПОЛИТЕХНИЧЕСКОГО ИНСТИТУТА им. С. М. КИРОВА

Том 293

1977

УДК 681.1

ОСЦИЛЛОГРАФИЧЕСКИЙ АППРОКСИМАТОР

В. Н. БЕРЕЗА, В. Ф. ДЯДИК

(Представлена научным семинаром физико-технического факультета)

В настоящее время для целей автоматического контроля и управления непрерывными нестационарными процессами и пространственными физическими полями широкое применение находят дискретные методы. Основные их преимущества: быстродействие, точность, удобство реализации на электронной аппаратуре и на управляющих вычислительных машинах. При дискретном оперативном контроле представление численных результатов, кривых распределения параметра и функциональных зависимостей удобно осуществлять на электронно-лучевых трубках (ЭЛТ) [1].

Одним из дискретных методов является метод непрерывнопоследовательного считывания, при котором дискретные данные о непрерывной величине в виде последовательности непрерывно следующих друг за другом прямоугольных импульсов соответствующей амплитуды поступают на вход нижних частот (ФНЧ), а сигнал на выходе ФНЧ после его корректировки, аналогично ряду Котельникова, аппроксимирует исходную величину.

В данной работе рассматривается приборная реализация алгоритма восстановления непрерывных распределений по методу непрерывнопоследовательного считывания согласно ряда (1). При выборе алгоритма за критерий его оптимальности были приняты: точность восстановления при фиксированном количестве дискретных отсчетов, рациональность технической реализации.

$$Q(t) = \sum_{\kappa=-1}^{K=6} y_\kappa \{0,0125 e^{t-2,5\kappa} + e^{0,5(t-2,5\kappa)} [0,098 \sin 0,866(t-2,5\kappa) - \\ - 0,11 \cos 0,866(t-2,5\kappa)]\} \cdot 1(-t+2,5\kappa+0,9) + \\ + y_\kappa \{11,18 e^{-(t-2,5\kappa)} + e^{-0,5(t-2,5\kappa)} [-3,38 \sin 0,866(t-2,5\kappa) - \\ - 3,298 \cos 0,866(t-2,5\kappa)]\} \cdot 1(t-2,5\kappa-0,9). \quad (1)$$

На рис. 1 изображена блок-схема устройства, реализующего ряд (1). Устройство предназначено для работы как с сигналами малого (поправка $0 \div 10 \text{ мв}$), так и с сигналами большого (до 10 в) уровня.

Сигналы с датчиков $d_1 \div d_5$ поступают на входы блока коммутации — БК, в качестве ключевых элементов которого используются интегральные прерыватели ИП-1. Управление работой блока коммутации осуществляется блоком управления — БУ на полупроводниковых эле-

ментах, БУ состоит из генератора тактовых импульсов, двоичного счетчика и матричного дешифратора. Сигнал на выходе БК представляет собой последовательность прямоугольных импульсов со скважностью, равной 1, и амплитудой, соответствующей показаниям датчиков $d_1 \div d_5$, $-d_1$ и $-d_5$ (рис. 2, верхняя осциллограмма). После прохождения через усилитель — УГС (для входных сигналов 0—10 мв), фильтр низких частот — ФНЧ и корректор — К сигнал поступает на экран индикатора — И. Положительная часть этого сигнала соответствует с некоторой погрешностью исходной кривой распределения (рис. 2, нижняя осциллограмма).

В качестве усилителя используется транзисторный усилитель переменного тока с гальваническими связями, общей отрицательной обраткой связью и коэффициентом усиления по напряжению, равным 1000 [2].

Рис. 1. Блок-схема устройства индикации

ФНЧ является активным транзисторным RC — фильтром Баттерворса 3-го порядка с частотнозависимой положительной обратной связью,

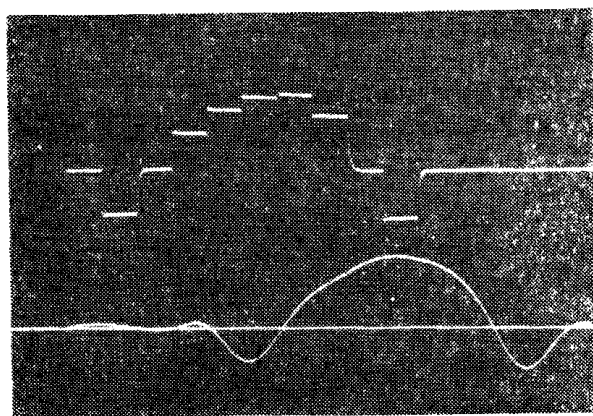


Рис. 2. Фотоосциллограммы восстановления непрерывной кривой по пяти дискретным отсчетам

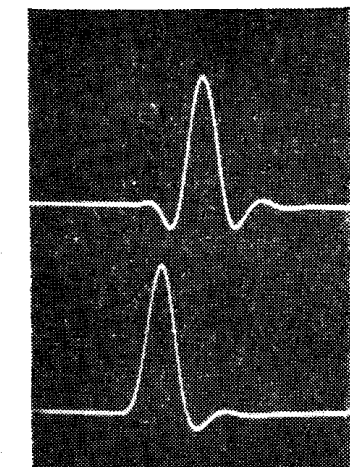


Рис. 3. Фотоосциллограммы импульсных характеристик на выходе ФНЧ (внизу) и на выходе корректора (вверху)

в качестве развязывающих элементов используются схемы Дарлингтона [3]. Частота среза ФНЧ, соответствующего ряду (1), подсчитывается по формуле

$$f_{cp} (\text{Гц}) = \frac{\pi}{2\delta_n \cdot t_n (\text{сек})}, \quad (2)$$

где δ_n — нормированная длительность входных импульсов. Для выбранного алгоритма $\delta_n = 2,5$ и для длительности входных импульсов $t_n = 100 \text{ мксек}$ частота среза f_{cp} составляет 6,28 кгц.

Корректор построен на транзисторных дифференциальных усилителях и двух индуктивных линиях задержки, корректирующих осцилляции преддействия у импульсной характеристики, поступающей с выхода ФНЧ [4].

Время формирования кривой распределения составляет 900 мксек. Дальнейшее увеличение быстродействия устройства может быть достиг-

нuto путем уменьшения длительности импульсов t_i . Данное устройство может использоваться для одновременной и выборочной индикации распределений по нескольким каналам при дополнении его коммутатором каналов.

В лаборатории кафедры изготовлен макет восьмиканального устройства восстановления и индикации непрерывных распределений по пяти дискретным отсчетам и проведены его лабораторные исследования. На рис. 2 показаны фотоосциллограммы восстановления непрерывной кривой по пяти дискретным отсчетам, на рис. 3 — импульсная характеристика ФНЧ (внизу) и тракта фильтр-корректор (вверху).

Выходы

1. Разработано устройство, реализующее алгоритм восстановления непрерывной функции по методу непрерывнопоследовательного считываия.
2. В результате исследования макета устройства выявлены его основные технические характеристики:
 - диапазон входных сигналов — $0,5 \div 10 \text{ мв}$
— $0,1 \div 10 \text{ в}$;
 - время формирования и индикации кривой распределения
— 900 мксек ;
 - основная приборная погрешность — 3% .

ЛИТЕРАТУРА

1. Радиоэлектронная техника 1970 (обзор). «Электроника», 1970, т. 43, № 1, стр. 3—38.
2. Ю. И. Конев и др. Транзисторные схемы автоматического управления. Проектирование и расчет. М., «Советское радио», 1967.
3. Г. Н. Славский. Активные RC — фильтры и избирательные усилители. М., «Связь», 1966.
4. В. И. Кулля. Ортогональные фильтры. Киев, «Техника», 1967.